

ФИЗИЧЕСКАЯ ХИМИЯ

Н. П. КОЧЕРОВ

КОНТАКТНЫЕ ЯВЛЕНИЯ НА ПОВЕРХНОСТИ БРОМИСТОГО СЕРЕБРА И ПРОЦЕСС ФОТОГРАФИЧЕСКОГО ПРОЯВЛЕНИЯ

(Представлено академиком Б. П. Никольским 7 VII 1969)

Фотографическая эмульсия представляет собой гетерогенную среду, т. е. взвесь микрокристаллов галоидного серебра в желатине или ее заменителе. Дисперсность галоидного серебра эмульсии велика, и удельная поверхность его может достигать 15 м^2 на 1 г и выше, поэтому поверхностные явления играют чрезвычайно важную роль в фотографических процессах. Достаточно указать, что наиболее эффективные центры чувствительности и центры скрытого изображения образуются на поверхности

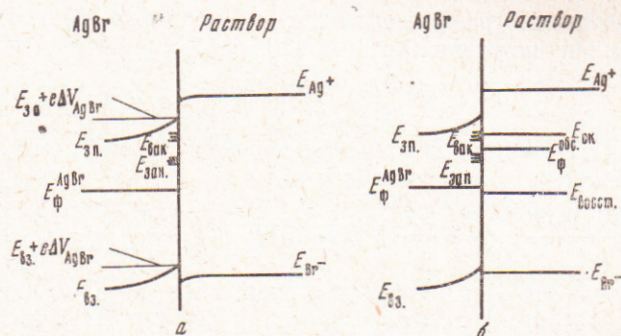


Рис. 1. Положение энергетических уровней электронов вблизи межфазной границы бромистого серебра — раствор, *a* — раствор ионов серебра и брома, *b* — раствор с ОВ-системой, содержащей ионы серебра и брома. $E_{\text{зап}}$ — заполненные электронные уровни центров скрытого изображения; $E_{\text{вак}}$ — вакантные уровни центров скрытого изображения; E_F — уровень Ферми, $E_{\text{з.р}}$ — нижняя граница зоны проводимости; $E_{\text{в.з}}$ — верхняя граница валентной зоны AgBr

микрокристаллов. Процесс проявления является также типичной гетерогенной химической реакцией, протекающей на поверхности микрокристаллов эмульсии.

Для выяснения особенностей протекания реакции проявления рассмотрим элементарные процессы обмена зарядами на межфазной границе галоидного серебра с проявляющими растворами. Рассмотрение проводится на примере бромистого серебра, но легко может быть распространено на другие системы.

Расположение электронных уровней вблизи контакта бромистое серебро — раствор ионов серебра и брома показано на рис. 1a. Поскольку электролитическая проводимость бромистого серебра при комнатной температуре выше электронной (¹), область пространственного заряда в кристалле, где наблюдается изгиб зон, будет определяться концентрацией междуузельных ионов серебра и вакантных узлов ионов серебра решетки. Схема уровней для бромистого серебра взята из работы (²), а положение

электронных уровней ионов Ag^+ и Br^- из работы (3). Так как вакантные электронные уровни Ag^+ -ионов в растворе расположены много выше (~ 3 эв) занятых электронных уровней AgBr , а занятые электронные уровни Br^- -ионов почти на столько же ниже вакантных электронных уровней в зоне проводимости и запрещенной зоне, то обмен электронами через межфазную границу такой системы практически невозможен. Равновесие в системе устанавливается путем перехода ионов Ag^+ и Br^- через межфазную границу, и бромистое серебро является неполяризуемым электродом.

Теперь введем в раствор простую окислительно-восстановительную (ОВ) систему (рис. 1). Структура электронных уровней в ОВ-системе изображена в соответствии с результатами работ (4, 5). В зависимости от глубины залегания вакантных электронных уровней ионов окисленной формы $E_{\text{ок}}$ и занятых электронных уровней ионов восстановленной формы $E_{\text{вост}}$, которая обусловлена химической структурой этих ионов, следует различать три возможных пути протекания процесса на межфазной границе.

1. Уровень $E_{\text{ок}}$ расположен вблизи края зоны проводимости или выше его. Уровень Ферми ОВ-системы E_{Φ}^{OB} расположен вблизи уровня $E_{\text{ок}}$. В этих условиях будет наблюдаться интенсивный переход электронов с уровней ионов восстановленной формы на уровень зоны проводимости и вакантные уровни в запрещенной зоне бромистого серебра. Отметим, что влияние электронных переходов на потенциал бромосеребряного электрода в растворе, содержащем ионы Br^- , было обнаружено экспериментально в работе (6). Одновременно возникает компенсирующий ионный ток (ионов Ag^+ и Br^-), направленный в противоположную сторону. Таким образом, будет наблюдаться стационарный ток электронов в зону проводимости всех микрокристаллов бромистого серебра. Этот процесс соответствует неизбирательному проявлению. Ток через зону проводимости будет больше или того же порядка, что и ток через вакантные уровни $E_{\text{вак}}$.

2. Уровень $E_{\text{ок}}$ ОВ-системы расположен ниже вакантных уровней в запрещенной зоне бромистого серебра, а уровень E_{Φ}^{OB} еще ниже. В этом случае переход электронов из раствора в бромистое серебро имеет весьма малую вероятность. Бромистое серебро будет работать как идеально поляризуемый электрод по отношению к ионам ОВ-системы. Процесс проявления происходит не будет.

3. Уровень $E_{\text{ок}}$ ОВ-системы расположен там же, где вакантные уровни запрещенной зоны или на $0,1-0,2$ эв выше. Возможны переходы электронов из раствора на вакантные уровни $E_{\text{вак}}$ и в зону проводимости бромистого серебра, но с гораздо меньшей вероятностью, чем в случае 1. Определим соотношение числа электронных переходов на вакантные уровни и в зону проводимости.

Полное число переходов электронов из раствора в зону проводимости будет

$$N_{\text{з.п}} = \int_{E_{\text{в.п}} + e\Delta V_{\text{AgBr}}}^{\infty} N(E)_{\text{з.п}} [1 - f(E - E_{\Phi}^{\text{AgBr}})] D_{\text{об}}(E) \cdot f(E - E_{\Phi}^{\text{OB}}) \chi(E) dE,$$

а полное число переходов электронов на уровень $E_{\text{вак}}$

$$N_{\text{вак}} = \int_{E_{\text{в.п}} + e\Delta V_{\text{AgBr}}}^{E_{\text{в.з}} + e\Delta V_{\text{AgBr}}} N(E)_{\text{вак}} [1 - f(E - E_{\Phi}^{\text{AgBr}})] D_{\text{об}}(E) \cdot f(E - E_{\Phi}^{\text{OB}}) \chi(E) dE.$$

Здесь $N(E)_{\text{з.п}}$ — функция распределения плотности электронных уровней в зоне проводимости бромистого серебра; $N(E)_{\text{вак}}$ — то же для вакантных уровней в запрещенной зоне AgBr ; $f(E)$ — функция Ферми; $D_{\text{об}}(E)$ — функция распределения электронных уровней в ОВ-системе; $\chi(E)$ — мно-

житель, учитывающий проницаемость межфазного барьера. Полученные выше выражения не могут быть проинтегрированы из-за отсутствия аналитических выражений для функции $D_{\text{OB}}(E)$. Но поскольку полуширина функции распределения $D_{\text{OB}}(E)$ гораздо меньше ширины запрещенной зоны, то должно выполняться неравенство

$$D_{\text{OB}}(E) \cdot f(E - E_{\Phi}^{\text{OB}}) \Big|_{E_{\text{B},\text{B}} + e\Delta V_{\text{AgBr}}}^{E_{\text{A},\text{B}} + e\Delta V_{\text{AgBr}}} \gg 3K \cdot D_{\text{OB}}(E) \cdot f(E - E_{\Phi}^{\text{OB}}) \Big|_{E_{\text{A},\text{B}} + e\Delta V_{\text{AgBr}}}^{\infty},$$

когда уровни $E_{\text{вак}}$ и $E_{\text{ок}}$ приблизительно совпадают. Здесь есть отношение числа вакантных электронных уровней в зоне проводимости к числу вакантных электронных уровней в запрещенной зоне бромистого серебра, а множитель ~ 3 появляется из-за изменения проницаемости кулоновского барьера.

Если расположение электронных уровней ОВ-системы таково, что выполняется неравенство (1), то электроны из электролита будут переходить в бромистое серебро преимущественно на уровня $E_{\text{вак}}$ в запрещенной зоне. Этот процесс соответствует избирательному проявлению микрокристаллов, обладающих центрами скрытого изображения. Внутри микрокристаллов при этом будет происходить процесс, аналогичный фотолизу при действии освещения низкой интенсивности: размер центров скрытого изображения будет увеличиваться за счет подхода и нейтрализации междуузельных ионов серебра. В результате на поверхности

Рис. 2. Установление смешанного потенциала при контакте трех фаз серебро — бромистое серебро — электролит, содержащий ОВ-систему и ионы серебра и брома. E_{OB} — равновесный потенциал серебряного электрода в растворе с ОВ-системой; E_{Ag} — равновесный потенциал серебряного электрода в растворе ионов серебра и брома

проявляющегося микрокристалла появится серебряная частица, обладающая свойствами массивного серебряного электрода. Этот момент естественно считать окончанием индукционного периода проявления индивидуального микрокристалла. Начиная с этого момента, в контакте находятся уже три фазы: бромистое серебро, металлическое серебро и электролит.

В таких условиях на серебряной частице будет протекать одновременно несколько электрохимических реакций. Во-первых, обмен электронами с ОВ-системой приведет к некоторому сдвигу потенциала серебряной частицы в сторону ОВ-потенциала системы. Во-вторых, возникает обусловленный этим сдвигом потенциала ток ионов серебра, осаждающихся на серебряной частице из раствора, и ток междуузельных ионов Ag^+ в бромистом серебре, направленный к контакту с серебряной частицей.

В результате протекания всех этих процессов на серебряной частице установится некоторый смешанный потенциал (?), что схематически изображено на рис. 2. Кривая 1 качественно изображает зависимость перенапряжение — плотность тока при поляризации серебряного электрода в растворе с ОВ-системой, не содержащем ионов серебра и брома. Кривая 2 качественно изображает зависимость перенапряжение — плотность тока при поляризации серебряного электрода в растворе ионов серебра; кривая 3 — зависимость плотности тока от напряжения, приложенного к границе раздела серебро — бромистое серебро. Сумма кривых 2 и 3 (кривая 4) будет характеризовать реакцию системы серебро — бромистое серебро — раствор ионов серебра и брома на отклонение потенциала серебра от равновесного значения. Итак, если отдельные реакции, происходящие на серебряной частице, описываются кривыми 1, 2 и 3, то будет про-

текать анодный электронный ток с плотностью I_1 , и равный ему ионный катодный ток — I_2 . Катодный ток ионов серебра и определяет скорость процесса проявления в послеиндукционном периоде. Введение постоянных веществ в рассматриваемый электролит может привести к изменению формы кривых 1 и 2 и тем самым изменить скорость протекания суммарной реакции.

В заключение автор выражает благодарность профессору Н. А. Перфилову за постоянный интерес к данной работе и полезные обсуждения.

Радиевый институт им. В. Г. Хлопина
Ленинград

Поступило
7 V 1969

ЦИТИРОВАННАЯ ЛИТЕРАТУРА

- ¹ R. W. Gurney, N. F. Mott, Electronic Processes in Ionic Crystals, 2Ed., 1950.
² J. W. Mitchell, Rep. Progr. Phys., 20, 433 (1957); Д. Митчелл, УФН, 67, 293 (1959). ³ A. Rose, Concepts in Photoconductivity and Allied Problems, N. Y., 1963; A. Роуз, Основы теории фотопроводимости, М., 1966, стр. 174. ⁴ R. W. Gurney, Ions in Solution, Cambridge, 1936. ⁵ H. Gerischer, Zs. Phys. Chem., (N. F.), 26, 223 (1960). ⁶ I. Pfeiffer, K. Hauffe, W. Jaenicke, Zs. Elektrochem., 56, 728 (1952). ⁷ К. Феттер, Электрохимическая кинетика, М., 1967, стр. 778; K. Vetter, Elektrochemische Kinetik, Berlin, 1961.